

Fig. 1

2/24

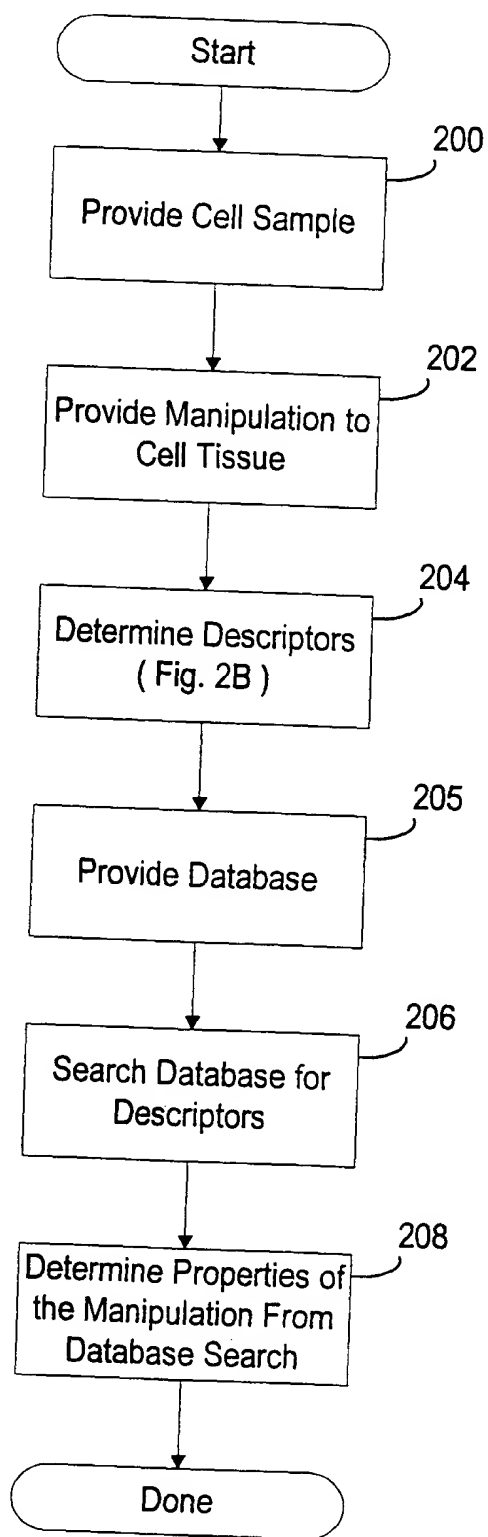


Fig. 2A

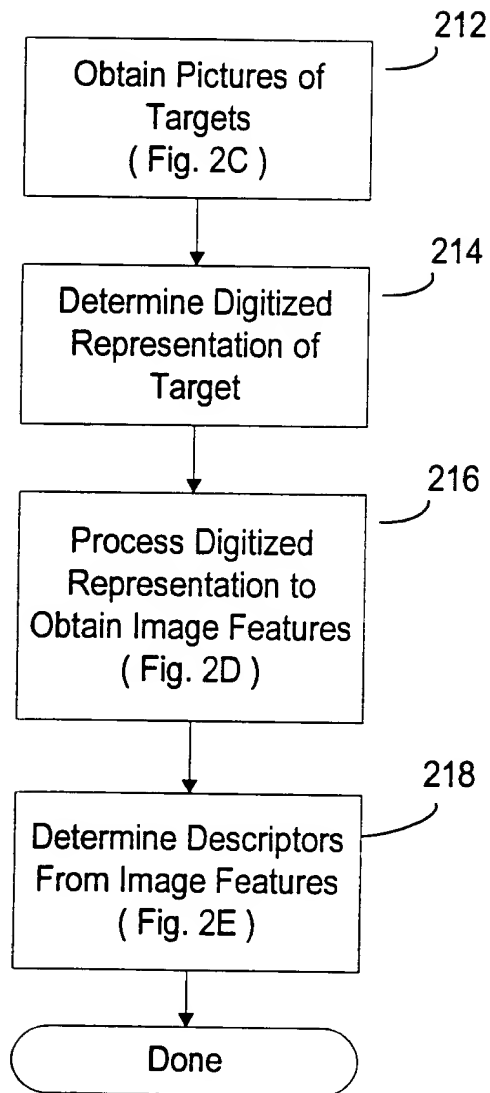


Fig. 2B
Step 204 of Fig. 2A

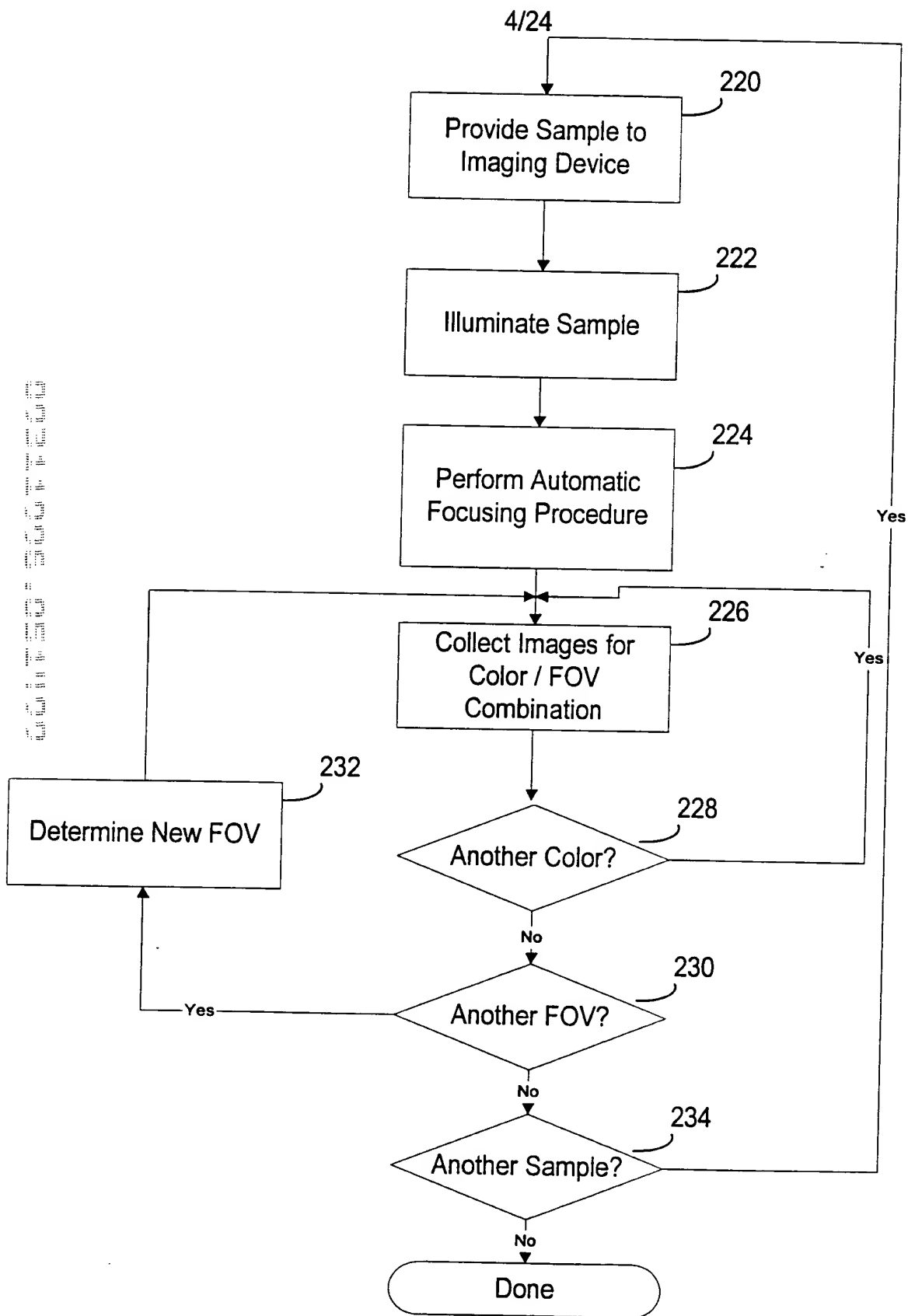


Fig. 2C
Step 214 of Fig. 2B

5/24

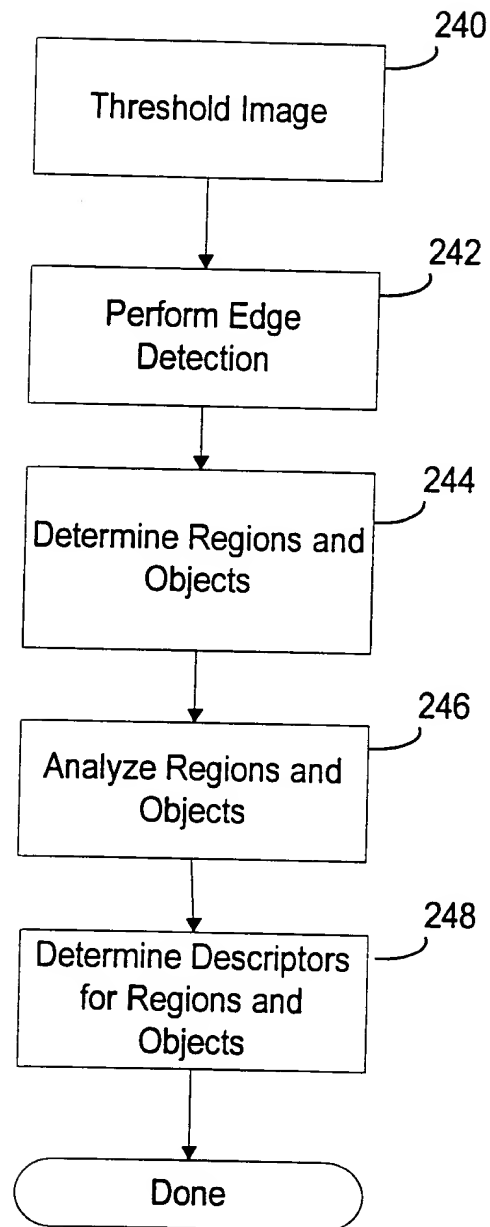


Fig. 2D
Step 216 of Fig. 2B

6/24

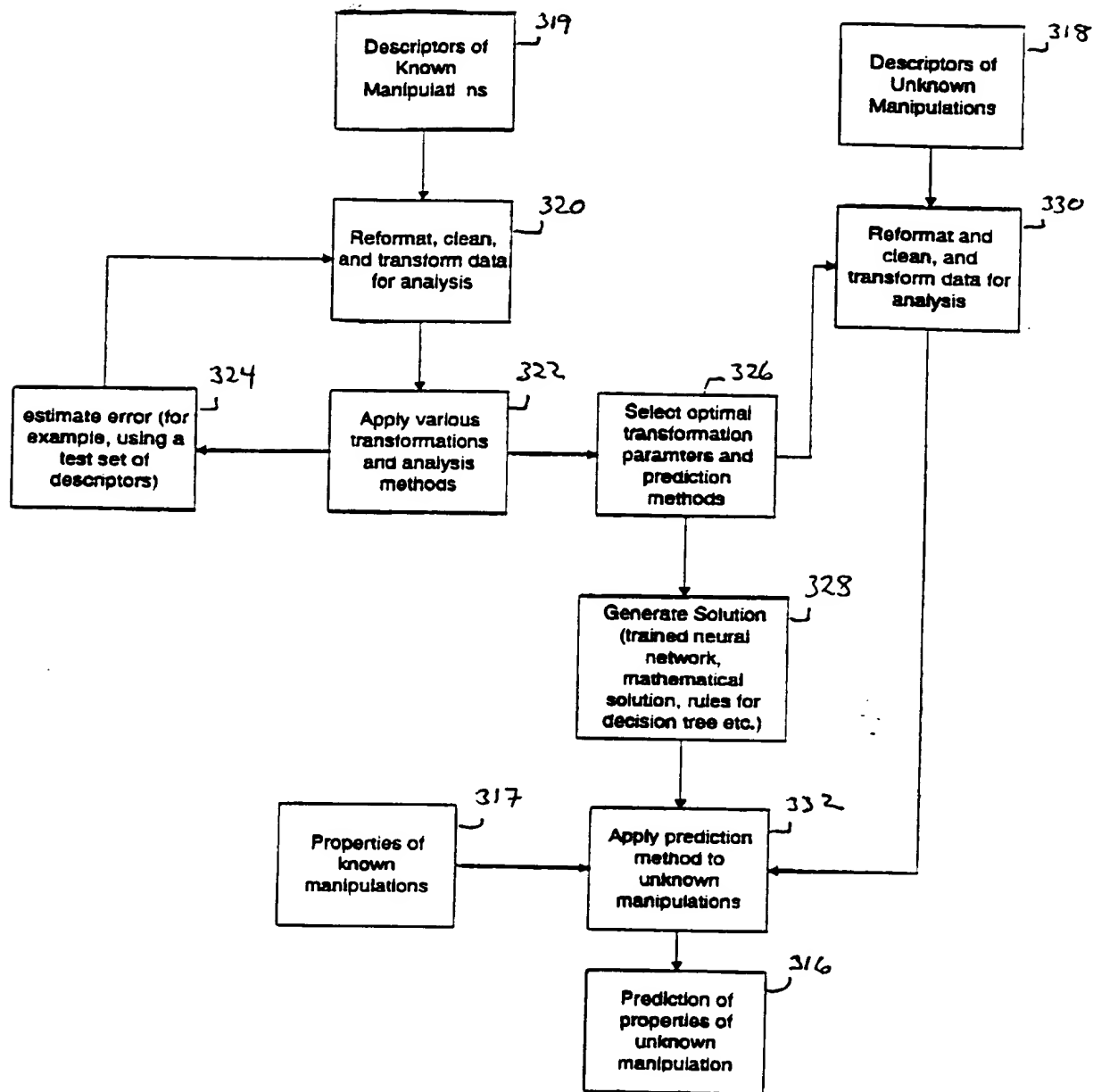


FIG 2E

7/24

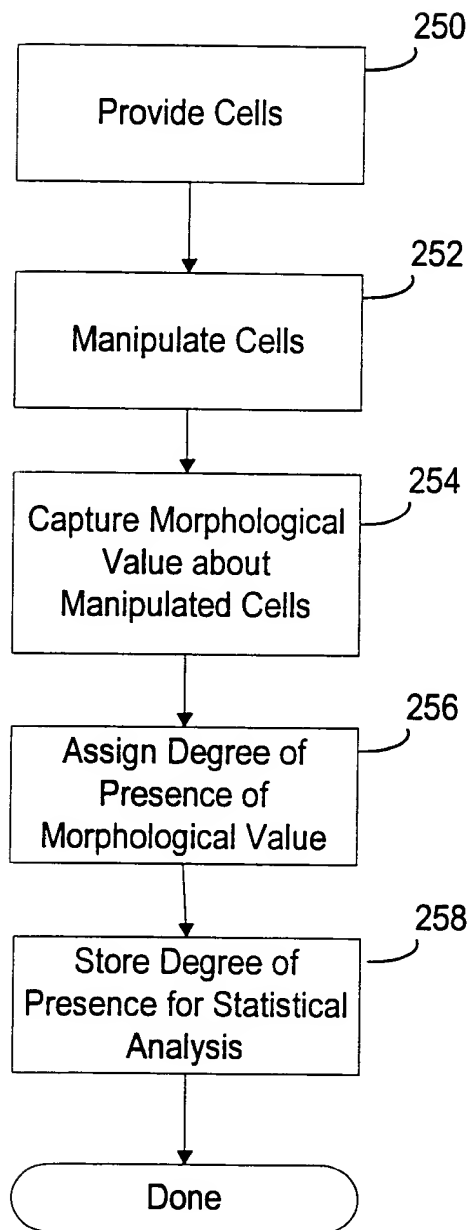


Fig. 2F

8/24

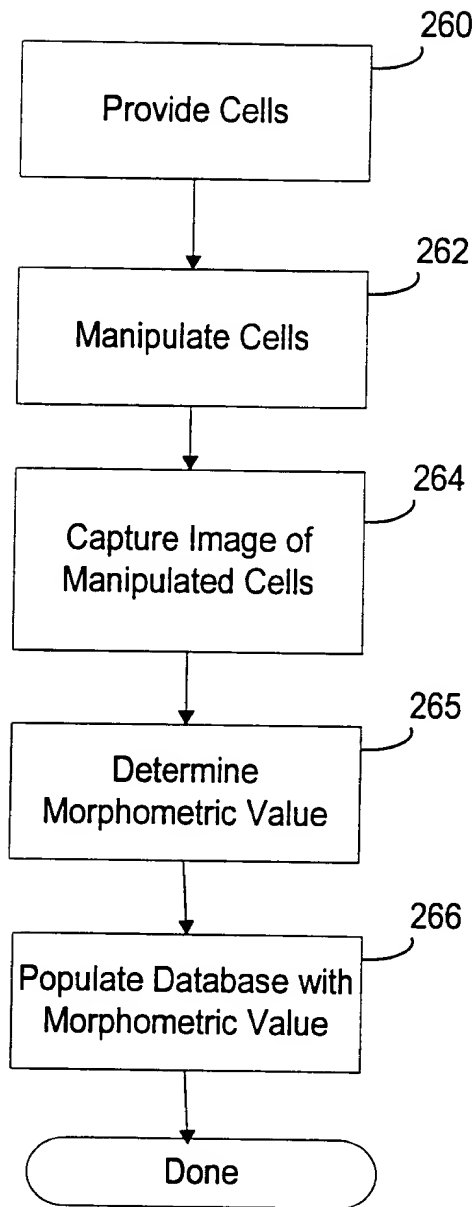


Fig. 2G

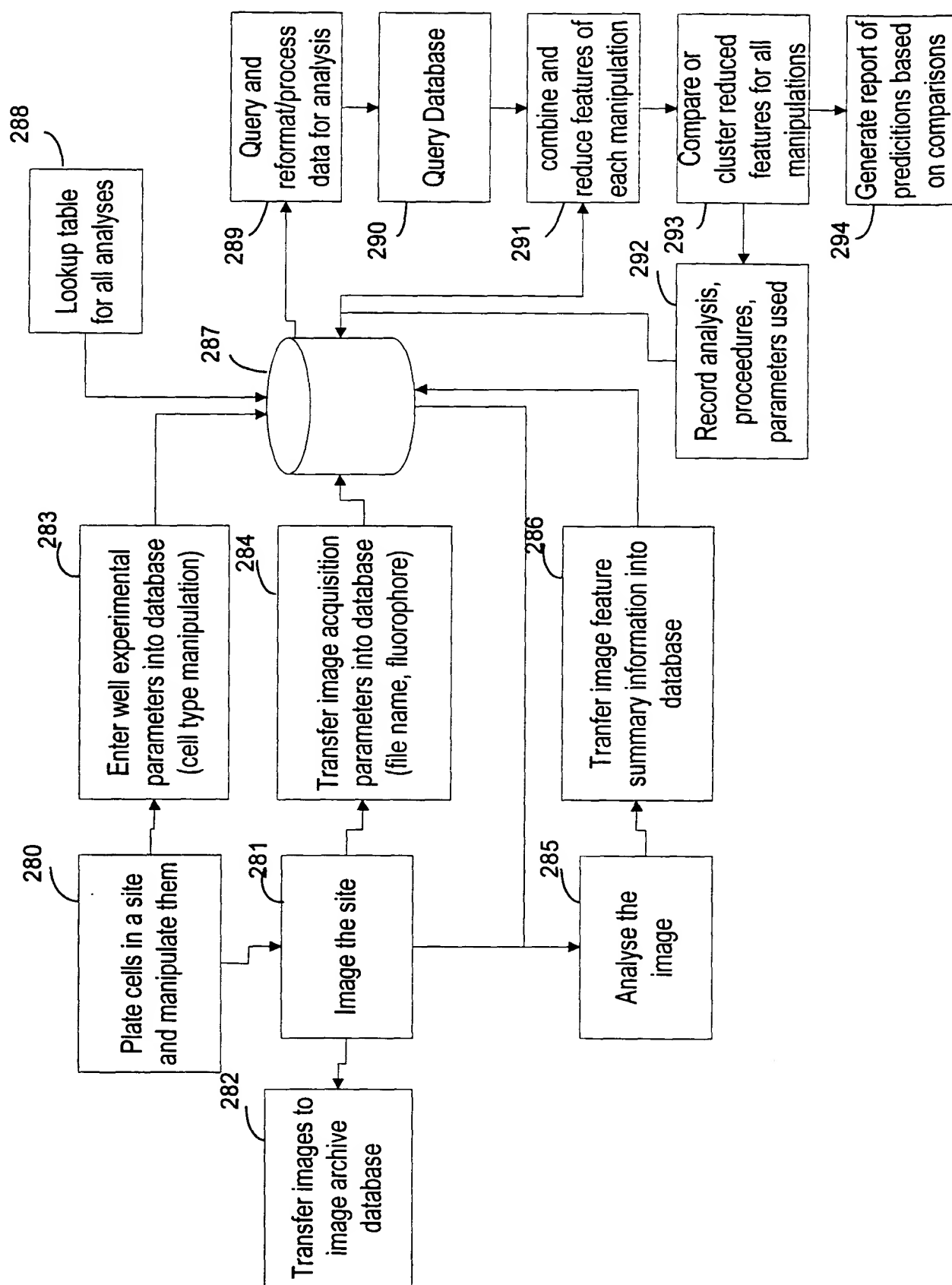


Fig. 2H

10/24

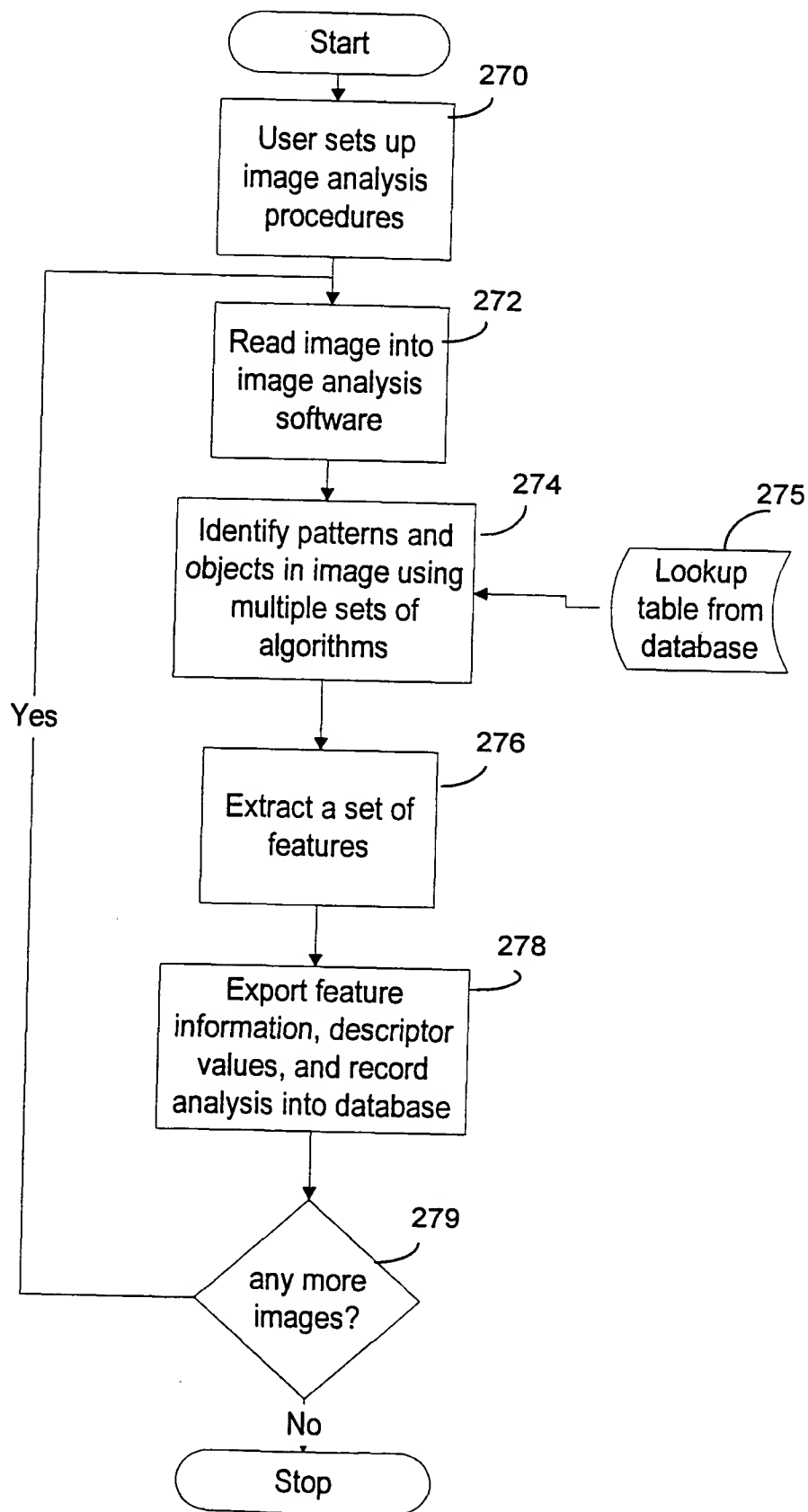


Fig. 2I

11/24

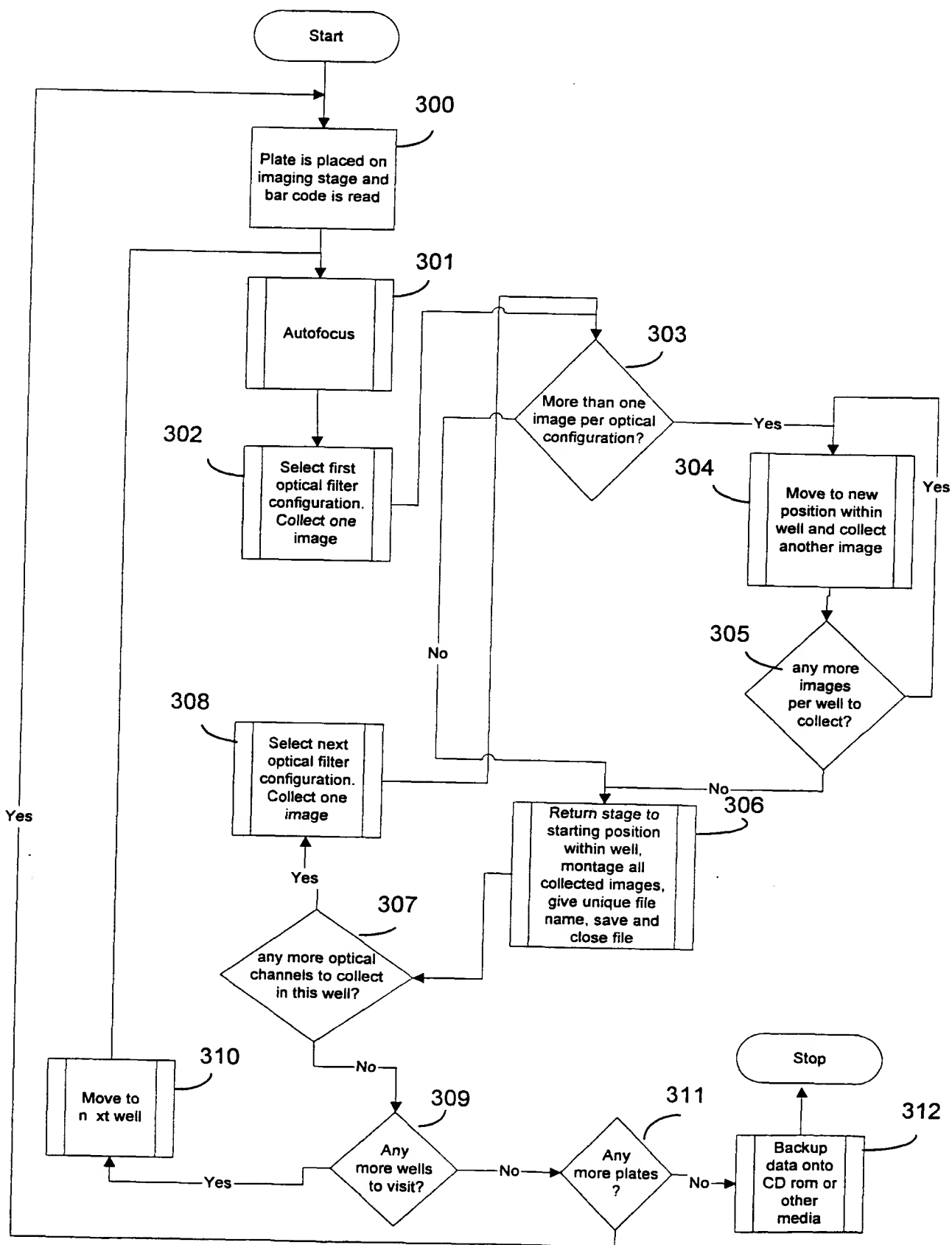


Fig. 2J

12/24

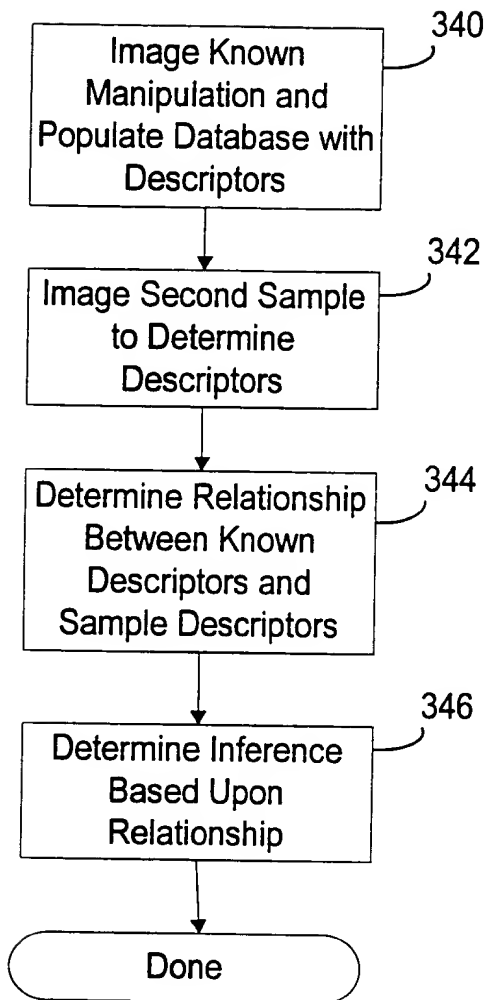


Fig. 2K

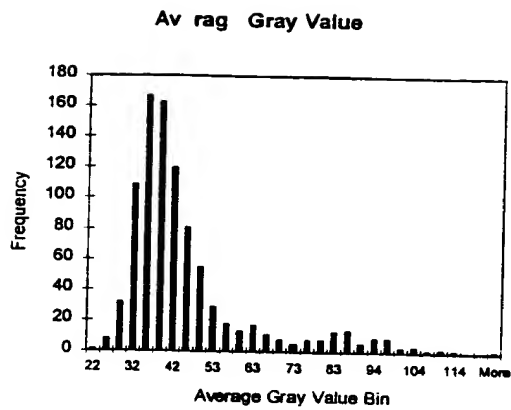


Fig. 3A

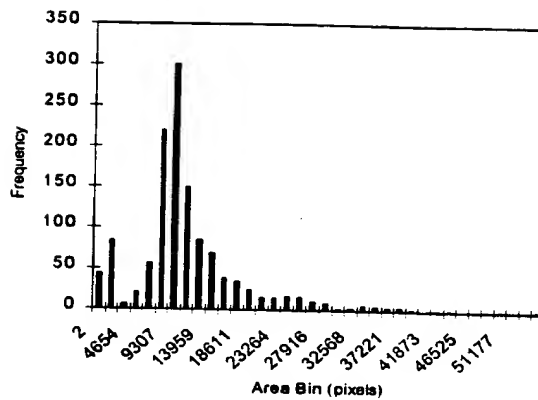


Fig. 3B

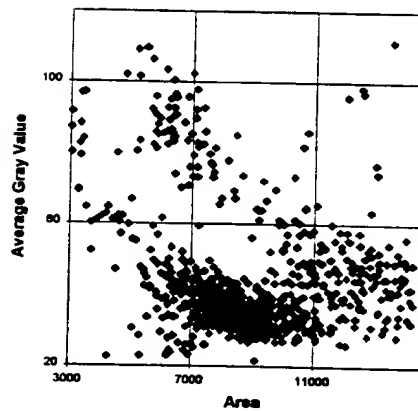


Fig. 3C

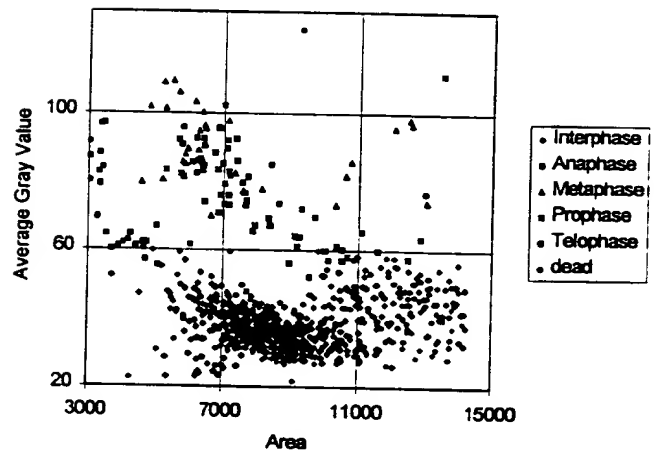


Fig. 3D

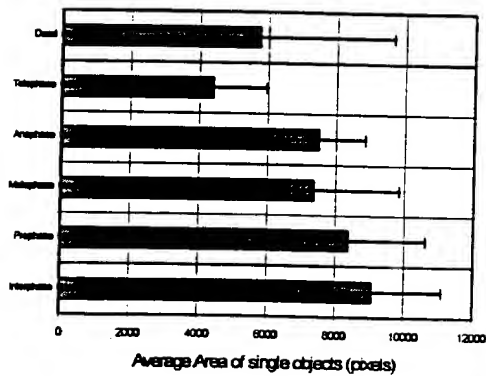


Fig. 3E

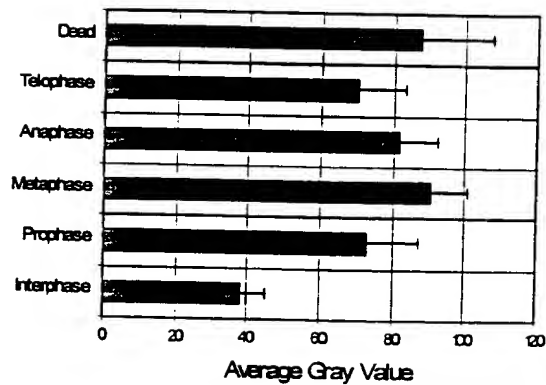
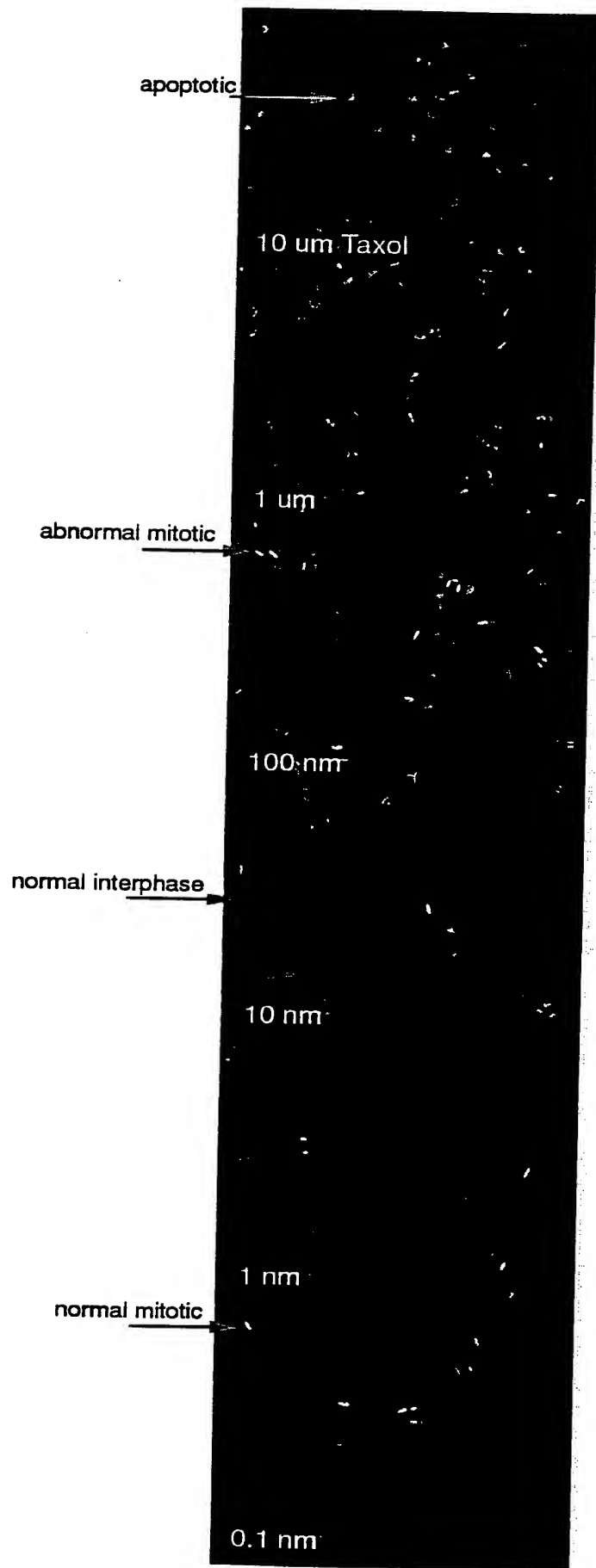


Fig. 3F

Fig. 4



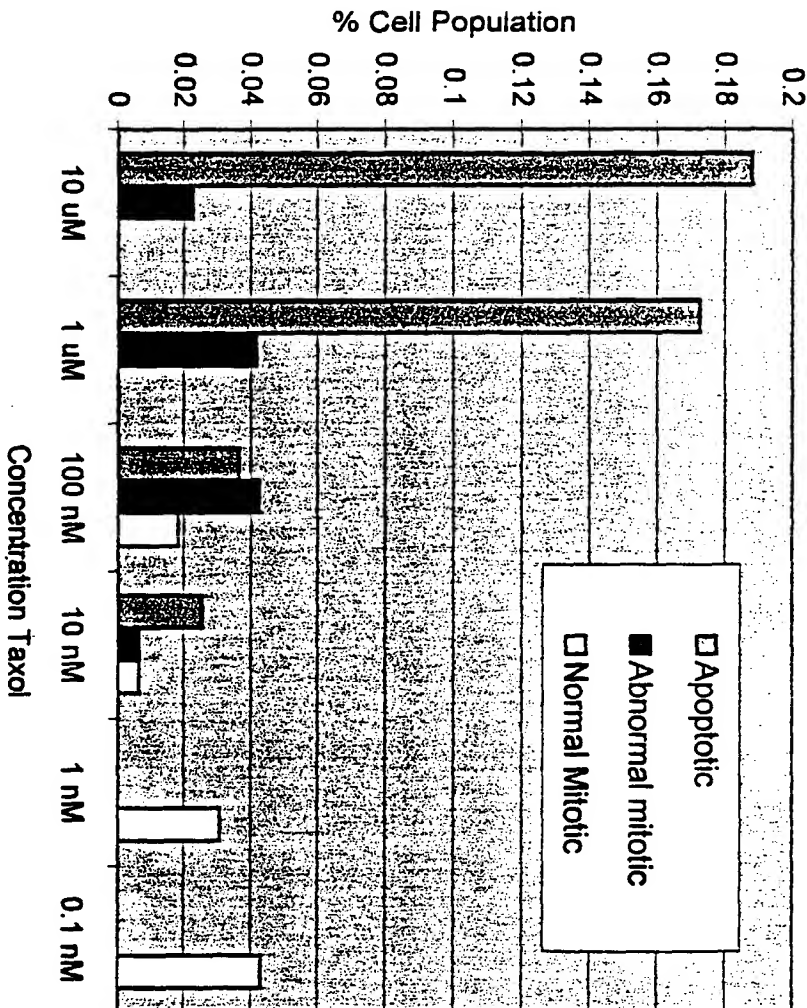
BEST AVAILABLE COPY

BEST AVAILABLE COPY

BEST AVAILABLE COPY

BEST AVAILABLE COPY

MDCK cells treated with Taxol for 4.5 hours



項目	単位	値	単位	値	単位	値		
1. 総人口	人	1,234,567	2. 男性人口	人	612,345	3. 女性人口	人	622,222
4. 出生率	‰	12.5	5. 死亡率	‰	8.7	6. 自然増減率	‰	3.8
7. 出生数	人	15,432	8. 死亡数	人	10,876	9. 自然増減数	人	4,556
10. 人口密度	人/平方キロメートル	123.4	11. 都市人口	人	789,012	12. 農村人口	人	445,555
13. 平均年齢	歳	34.5	14. 0歳人口	人	12,345	15. 65歳以上人口	人	234,567
16. 出生時平均寿命	歳	78.9	17. 5歳人口	人	8,765	18. 15歳人口	人	5,432
19. 20歳人口	人	4,321	20. 25歳人口	人	3,210	21. 30歳人口	人	2,109
22. 35歳人口	人	1,098	23. 40歳人口	人	987	24. 45歳人口	人	876
25. 50歳人口	人	765	26. 55歳人口	人	654	27. 60歳人口	人	543
28. 65歳以上人口	人	432	29. 70歳以上人口	人	321	30. 75歳以上人口	人	210
31. 80歳以上人口	人	109	32. 85歳以上人口	人	98	33. 90歳以上人口	人	87
34. 95歳以上人口	人	76	35. 100歳以上人口	人	65	36. 105歳以上人口	人	54
37. 110歳以上人口	人	43	38. 115歳以上人口	人	32	39. 120歳以上人口	人	21
40. 125歳以上人口	人	10	41. 130歳以上人口	人	9	42. 135歳以上人口	人	8
43. 140歳以上人口	人	7	44. 145歳以上人口	人	6	45. 150歳以上人口	人	5
46. 155歳以上人口	人	4	47. 160歳以上人口	人	3	48. 165歳以上人口	人	2
49. 170歳以上人口	人	1	50. 175歳以上人口	人	1	51. 180歳以上人口	人	1
52. 185歳以上人口	人	1	53. 190歳以上人口	人	1	54. 195歳以上人口	人	1
55. 200歳以上人口	人	1	56. 205歳以上人口	人	1	57. 210歳以上人口	人	1
58. 215歳以上人口	人	1	59. 220歳以上人口	人	1	60. 225歳以上人口	人	1
61. 230歳以上人口	人	1	62. 235歳以上人口	人	1	63. 240歳以上人口	人	1
64. 245歳以上人口	人	1	65. 250歳以上人口	人	1	66. 255歳以上人口	人	1
67. 260歳以上人口	人	1	68. 265歳以上人口	人	1	69. 270歳以上人口	人	1
70. 275歳以上人口	人	1	71. 280歳以上人口	人	1	72. 285歳以上人口	人	1
73. 290歳以上人口	人	1	74. 295歳以上人口	人	1	75. 300歳以上人口	人	1
76. 305歳以上人口	人	1	77. 310歳以上人口	人	1	78. 315歳以上人口	人	1
79. 320歳以上人口	人	1	80. 325歳以上人口	人	1	81. 330歳以上人口	人	1
82. 335歳以上人口	人	1	83. 340歳以上人口	人	1	84. 345歳以上人口	人	1
85. 350歳以上人口	人	1	86. 355歳以上人口	人	1	87. 360歳以上人口	人	1
88. 365歳以上人口	人	1	89. 370歳以上人口	人	1	90. 375歳以上人口	人	1
91. 380歳以上人口	人	1	92. 385歳以上人口	人	1	93. 390歳以上人口	人	1
94. 395歳以上人口	人	1	95. 400歳以上人口	人	1	96. 405歳以上人口	人	1
97. 410歳以上人口	人	1	98. 415歳以上人口	人	1	99. 420歳以上人口	人	1
100. 425歳以上人口	人	1	101. 430歳以上人口	人	1	102. 435歳以上人口	人	1
103. 440歳以上人口	人	1	104. 445歳以上人口	人	1	105. 450歳以上人口	人	1
106. 455歳以上人口	人	1	107. 460歳以上人口	人	1	108. 465歳以上人口	人	1
109. 470歳以上人口	人	1	110. 475歳以上人口	人	1	111. 480歳以上人口	人	1
112. 485歳以上人口	人	1	113. 490歳以上人口	人	1	114. 495歳以上人口	人	1
115. 500歳以上人口	人	1	116. 505歳以上人口	人	1	117. 510歳以上人口	人	1
118. 515歳以上人口	人	1	119. 520歳以上人口	人	1	120. 525歳以上人口	人	1
121. 530歳以上人口	人	1	122. 535歳以上人口	人	1	123. 540歳以上人口	人	

Scatter Plot

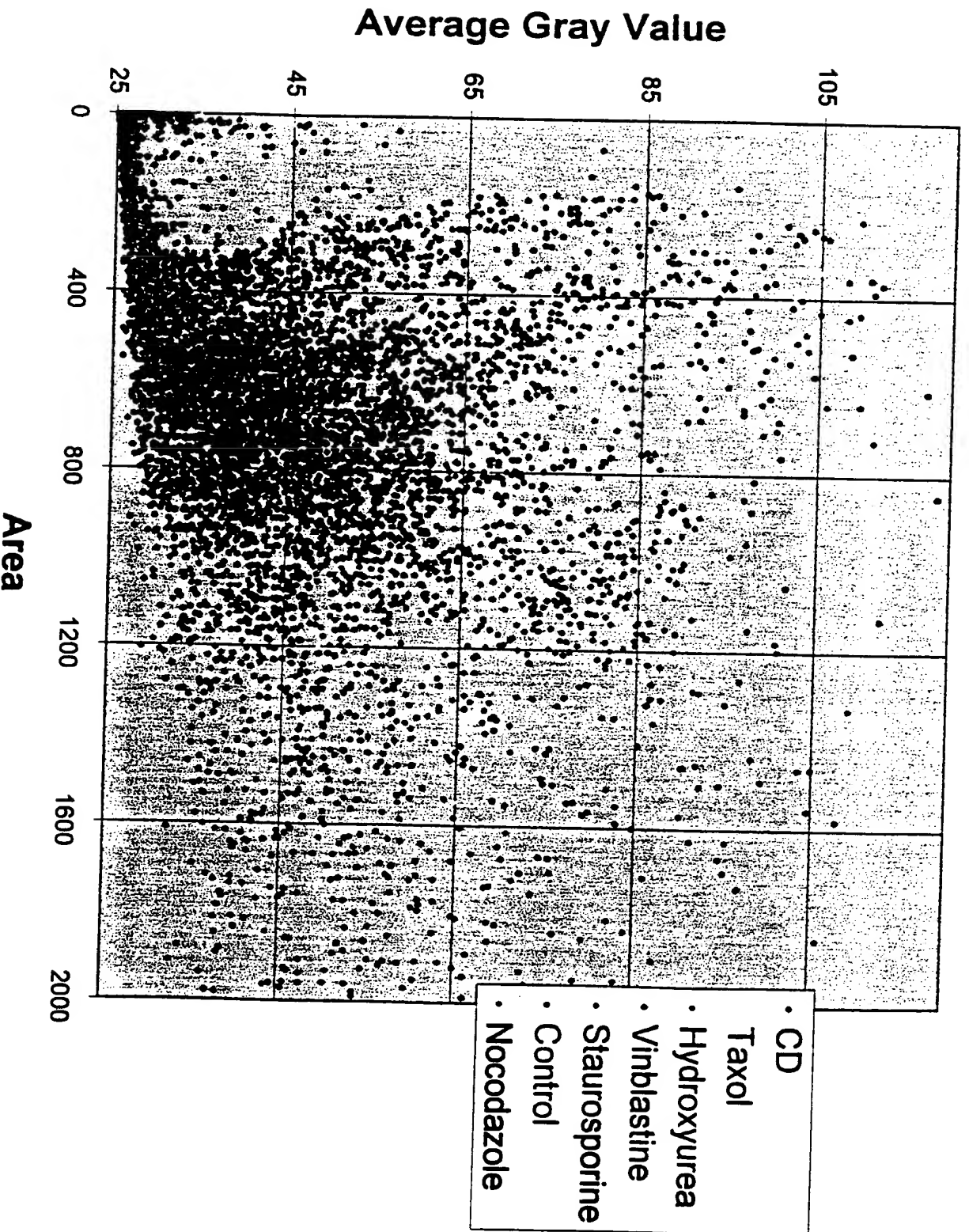
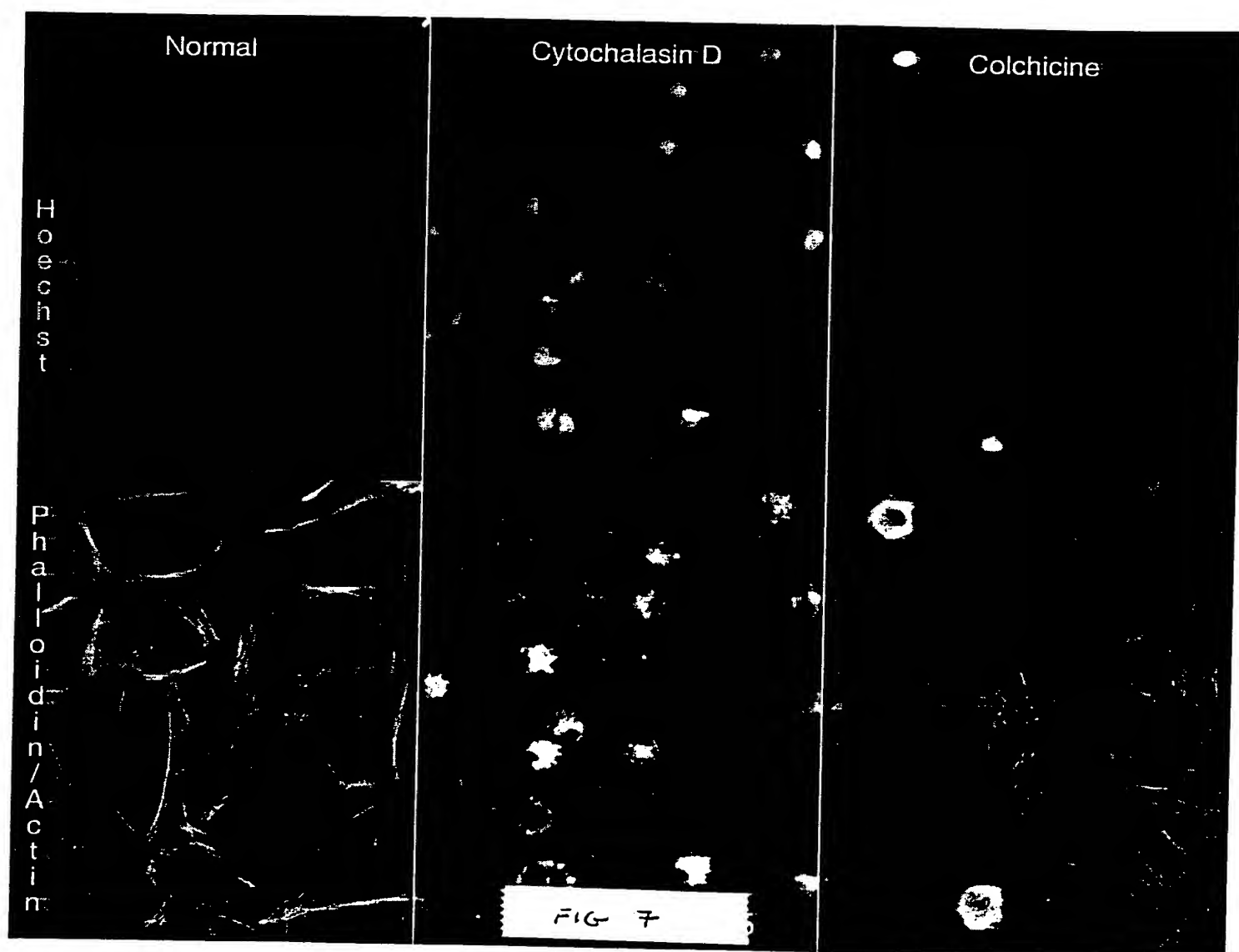


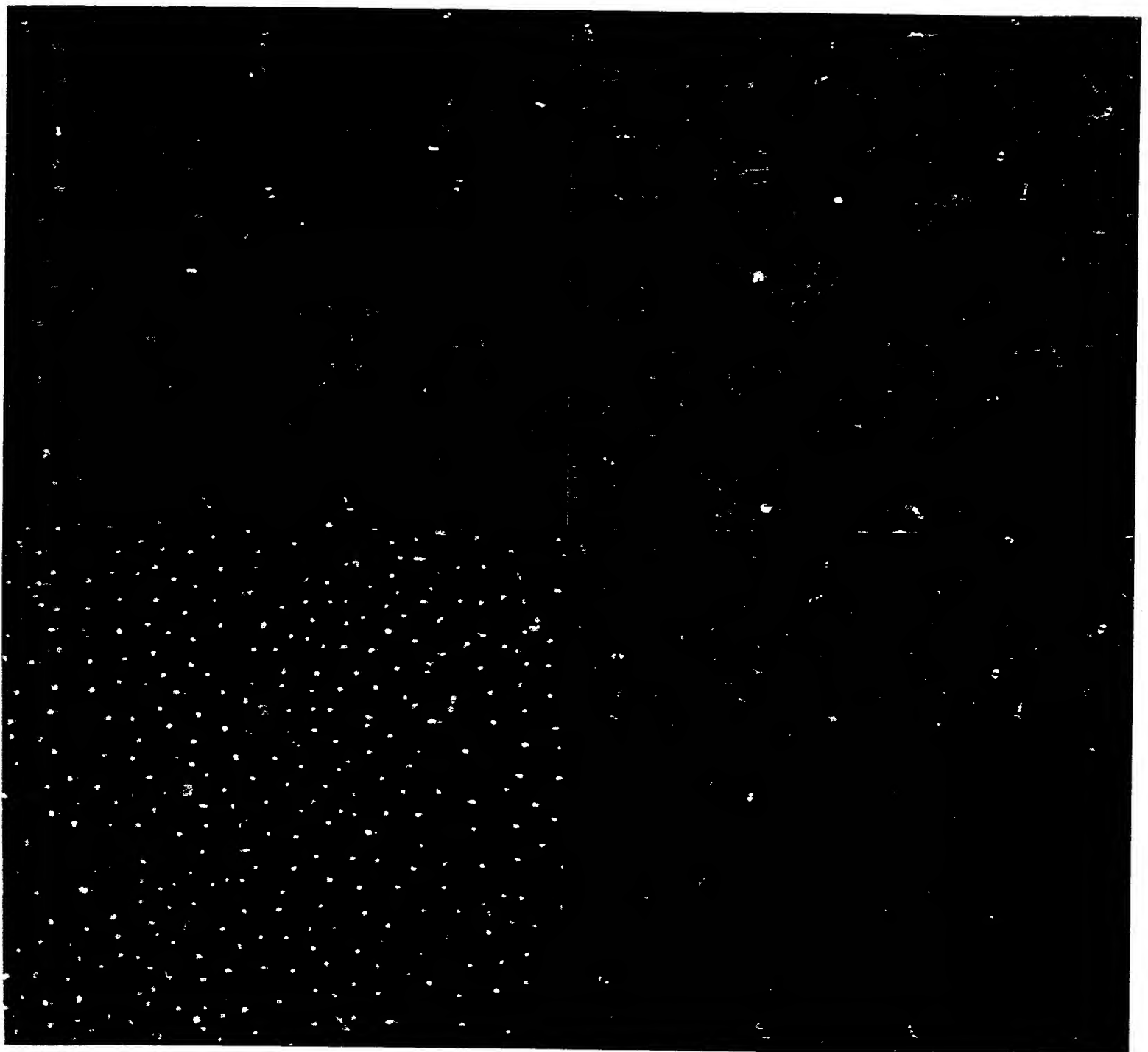
Figure 1

BEST AVAILABLE COPY



BEST AVAILABLE COPY

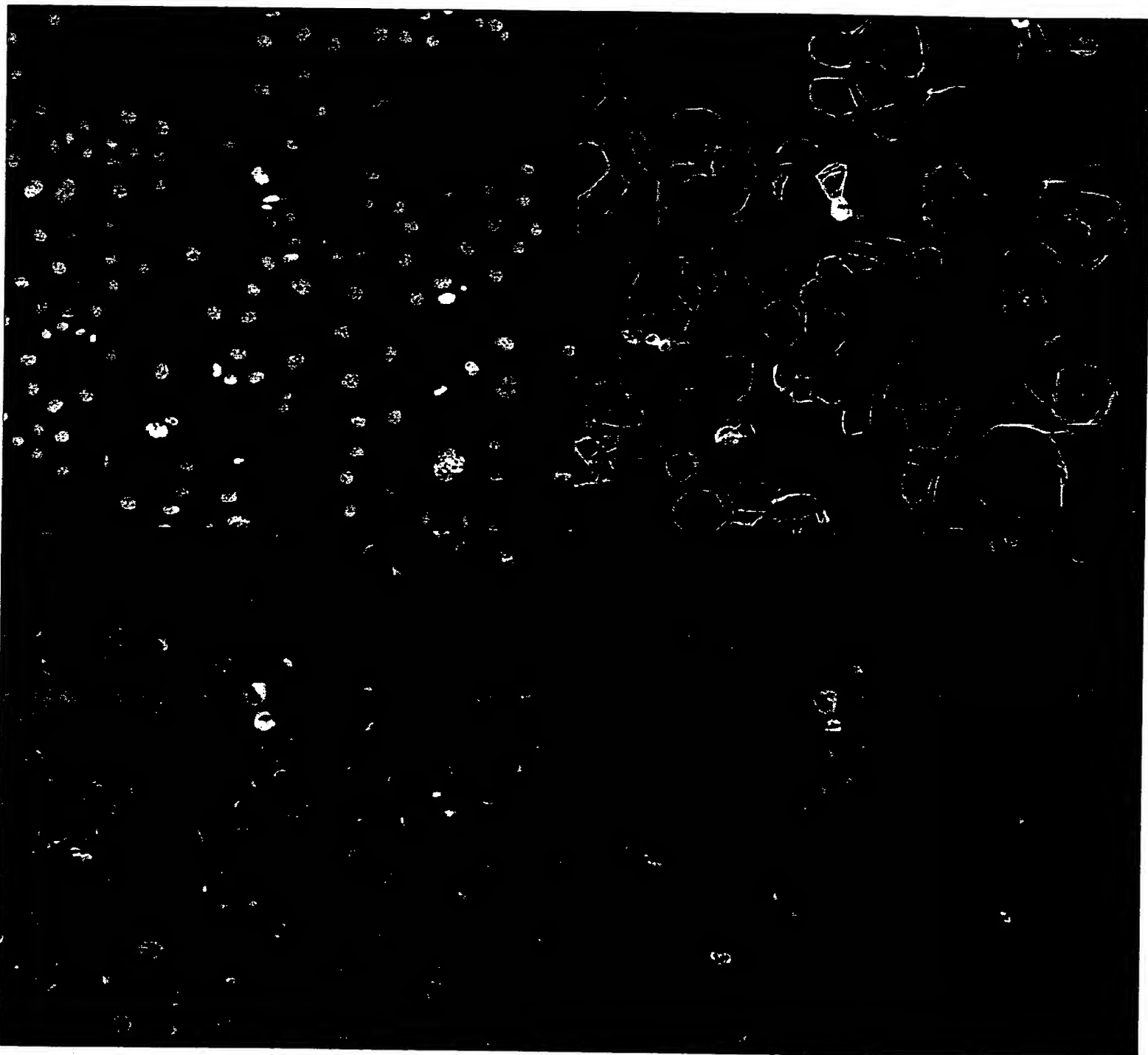
BEST AVAILABLE COPY



BEST AVAILABLE COPY

FIG 8

BEST AVAILABLE COPY



BEST AVAILABLE COPY

FIG. 9

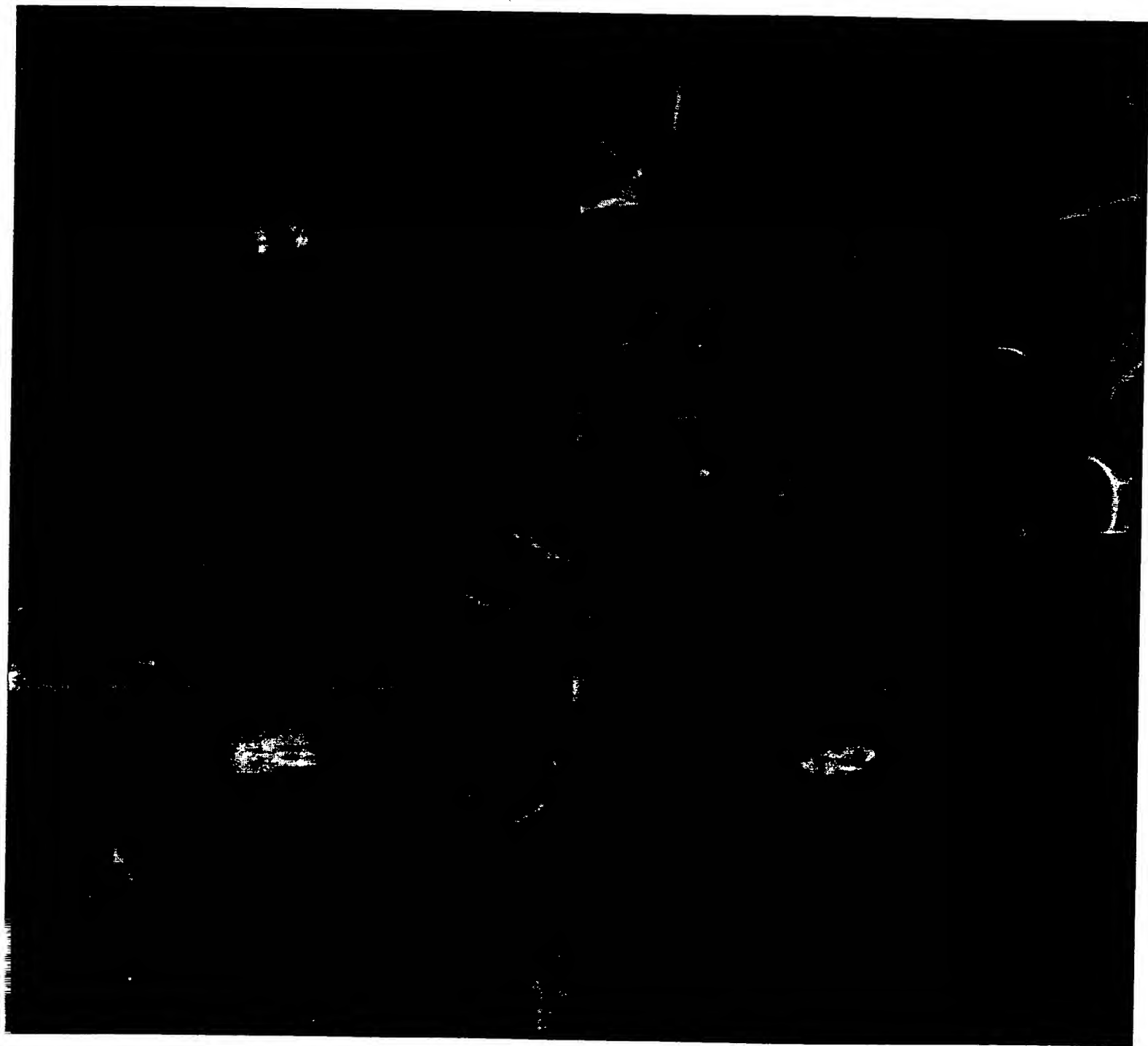
BEST AVAILABLE COPY



BEST AVAILABLE COPY

FIG. 1C

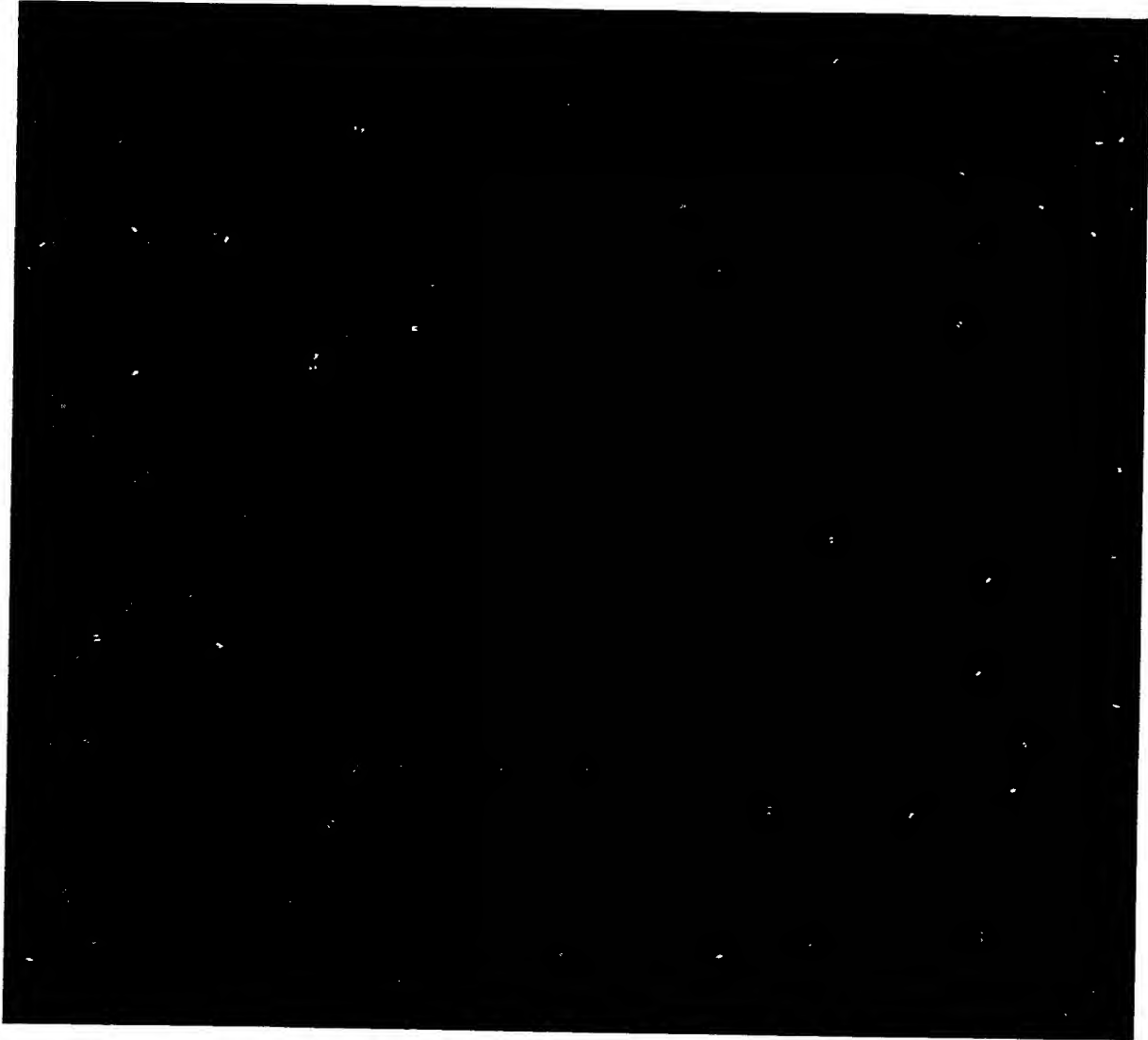
BEST AVAILABLE COPY



BEST AVAILABLE COPY

FIG. 11

BEST AVAILABLE COPY



BEST AVAILABLE COPY

FIG 12

**Conversion of morphometric parameters into nucleic acid code
and clustering of the resulting sequences using Neighbor
Joining method.**

Compound:	Measurements																							
	Count	Area	Perimeter	Length	Breadth	Fiber length	Fiber breadth	Shape factor	Ell. form factor	Inner radius	Outer radius	Mean radius	Equiv. radius	Equiv. sphere vol.	Equiv. prolate vol.	Equiv. oblate vol.	Equiv. sphere surface area	Average gray value	Total gray value	Optical density	Radial dispersion	Texture Difference Moment	EFA Harmonic 2, Semi-Maj	EFA Harmonic 2, Semi-Min
Control	t	t	t	t	t	t	t	t	t	t	t	t	t	t	t	t	t	t	t	t	t	t	t	t
Taxol	a	t	t	t	t	t	t	t	a	t	t	t	t	t	t	t	t	t	t	t	t	a	t	t
CD	c	a	a	a	t	a	t	t	c	a	a	a	a	a	a	a	a	t	a	a	a	t	a	g
Nocodozol	c	t	t	t	t	t	t	t	t	t	t	t	t	t	t	t	t	t	t	t	t	t	t	t
Staurosporine	g	g	c	a	a	t	a	a	t	g	a	a	a	t	g	g	g	a	a	t	a	t	a	a
Vinblastine	c	t	t	t	t	t	t	t	t	t	t	t	t	t	t	t	t	g	t	t	t	t	t	t
Hydroxyurea	g	t	t	t	t	t	t	g	t	t	t	t	t	t	t	t	t	t	c	t	a	t	t	t

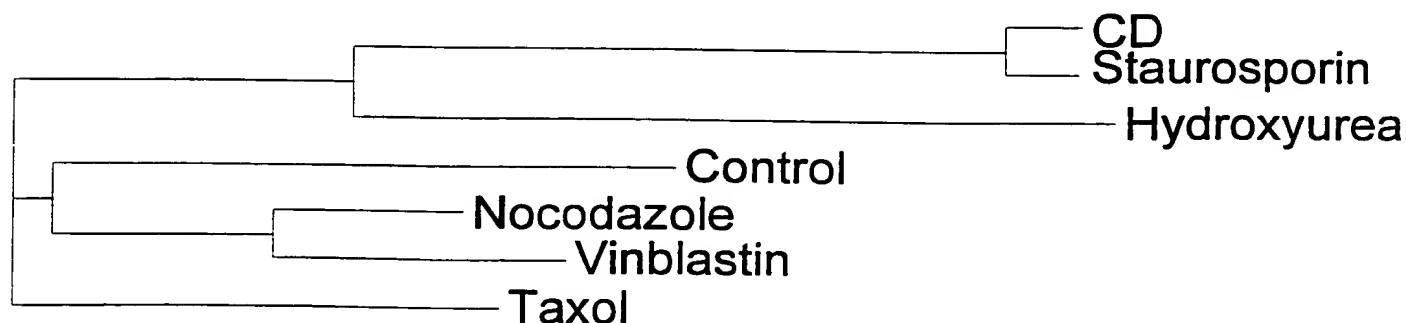


FIG 13

Conversion of morphometric parameters into amino acid codes and clustering of the resulting sequences using Neighbor Joining method.

	Control	Taxol	CD	Nocodazol	Staurosporine	Vinblastine	Hydroxyurea
	I	G	F	W	N	F	S
Count	Count	Count	Count	Count	Count	Count	Count
	P	F	G	F	V	W	H
Area	Area	Area	Area	Area	Area	Area	Area
	T	M	G	M	A	W	H
Perimeter	Perimeter	Perimeter	Perimeter	Perimeter	Perimeter	Perimeter	Perimeter
	T	M	G	M	G	M	H
Length	Length	Length	Length	Length	Length	Length	Length
	N	P	M	W	G	W	H
Breadth	Breadth	Breadth	Breadth	Breadth	Breadth	Breadth	Breadth
	S	M	G	M	M	C	H
Fiber length	Fiber length	Fiber length	Fiber length	Fiber length	Fiber length	Fiber length	Fiber length
	D	P	M	P	G	W	V
Fiber breadth	Fiber breadth	Fiber breadth	Fiber breadth	Fiber breadth	Fiber breadth	Fiber breadth	Fiber breadth
	W	H	K	T	G	D	H
Shape factor	Shape factor	Shape factor	Shape factor	Shape factor	Shape factor	Shape factor	Shape factor
	M	G	A	R	Y	S	H
Ell. form factor	Ell. form factor	Ell. form factor	Ell. form factor	Ell. form factor	Ell. form factor	Ell. form factor	Ell. form factor
	S	S	G	S	V	M	H
Inner radius	Inner radius	Inner radius	Inner radius	Inner radius	Inner radius	Inner radius	Inner radius
	T	M	G	M	G	W	H
Outer radius	Outer radius	Outer radius	Outer radius	Outer radius	Outer radius	Outer radius	Outer radius
	T	M	G	M	G	W	H
Mean radius	Mean radius	Mean radius	Mean radius	Mean radius	Mean radius	Mean radius	Mean radius
	T	W	G	M	G	W	H
Equiv. radius	Equiv. radius	Equiv. radius	Equiv. radius	Equiv. radius	Equiv. radius	Equiv. radius	Equiv. radius
	T	C	G	F	M	M	H
Equiv. sphere vol.	Equiv. sphere vol.	Equiv. sphere vol.	Equiv. sphere vol.	Equiv. sphere vol.	Equiv. sphere vol.	Equiv. sphere vol.	Equiv. sphere vol.
	C	F	G	W	V	M	H
Equiv. prolate vol.	Equiv. prolate vol.	Equiv. prolate vol.	Equiv. prolate vol.	Equiv. prolate vol.	Equiv. prolate vol.	Equiv. prolate vol.	Equiv. prolate vol.
	C	P	G	F	V	M	H
Equiv. oblate vol.	Equiv. oblate vol.	Equiv. oblate vol.	Equiv. oblate vol.	Equiv. oblate vol.	Equiv. oblate vol.	Equiv. oblate vol.	Equiv. oblate vol.
	P	F	G	F	V	W	H
Equiv. sphere surface a	Equiv. sphere surface a	Equiv. sphere surface a	Equiv. sphere surface a	Equiv. sphere surface a	Equiv. sphere surface a	Equiv. sphere surface a	Equiv. sphere surface a
	P	R	H	M	G	M	H
Average gray value	Average gray value	Average gray value	Average gray value	Average gray value	Average gray value	Average gray value	Average gray value
	P	C	G	M	G	V	H
Total gray value	Total gray value	Total gray value	Total gray value	Total gray value	Total gray value	Total gray value	Total gray value
	M	C	G	R	H	E	A
Optical density	Optical density	Optical density	Optical density	Optical density	Optical density	Optical density	Optical density
	C	M	G	M	G	M	H
Radial dispersion	Radial dispersion	Radial dispersion	Radial dispersion	Radial dispersion	Radial dispersion	Radial dispersion	Radial dispersion
	T	M	G	M	M	M	G
Texture Difference Mo	Texture Difference Mo	Texture Difference Mo	Texture Difference Mo	Texture Difference Mo	Texture Difference Mo	Texture Difference Mo	Texture Difference Mo
	G	H	M	M	M	M	H
IEFA Harmonic 2, Semi-	IEFA Harmonic 2, Semi-	IEFA Harmonic 2, Semi-	IEFA Harmonic 2, Semi-	IEFA Harmonic 2, Semi-	IEFA Harmonic 2, Semi-	IEFA Harmonic 2, Semi-	IEFA Harmonic 2, Semi-
	T	M	G	M	M	M	H
IEFA Harmonic 2, Semi-	IEFA Harmonic 2, Semi-	IEFA Harmonic 2, Semi-	IEFA Harmonic 2, Semi-	IEFA Harmonic 2, Semi-	IEFA Harmonic 2, Semi-	IEFA Harmonic 2, Semi-	IEFA Harmonic 2, Semi-
	T	P	V	F	G	F	D
Y	Y	S	H	G	V	P	D

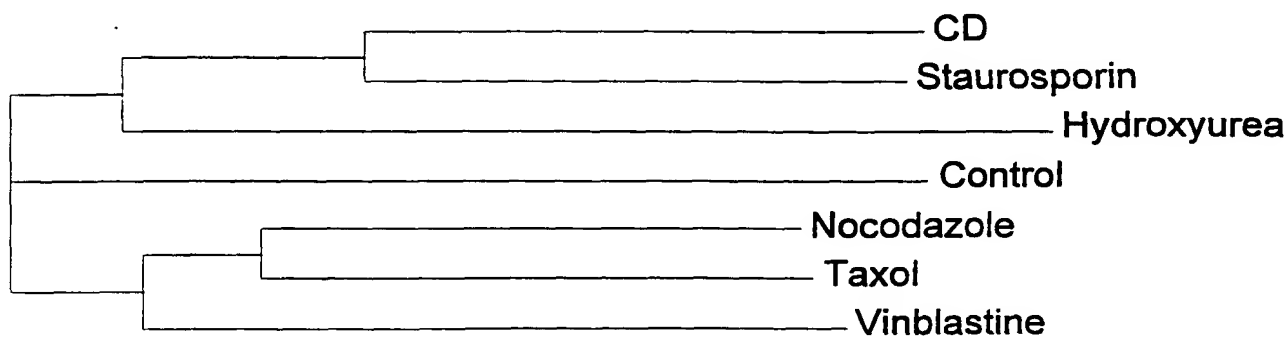


FIG 14